

基于有限体积 HWENO 格式的一维溃坝流模拟

翁磊¹ 程国胜¹ 卢长娜¹

摘要

基于浅水波方程组建立一维溃坝流模型,并给出数值模拟结果.其中,空间离散采用 HWENO (Hermit Weighted Essentially Non-Oscillatory) 格式,时间离散采用四步 TVD (Total Variation Diminishing) Runge-Kutta 方法,模拟堤坝溃决时洪水演进过程.模拟结果表明:较采用 WENO 格式所得数值解更精确;同时,相比 WENO 格式的相应算法,该算法解决一维溃坝流问题能更有效地减弱振荡,对间断具有更高的分辨率.

关键词

溃坝流;有限体积法;HWENO 格式

中图分类号 O175.2

文献标志码 A

0 引言

Introduction

拦河筑坝,既可防洪又可用于灌溉、发电,对社会发展起积极作用,但坝体一旦溃决,形成的洪水波会对下游地区造成严重灾害.洪水波的速度影响着下游的预警和紧急疏散时间,决定受灾范围和程度,因此,溃坝流数值模拟具有非常重要的研究意义.

溃坝流常以浅水波方程组作为模型.溃坝流具有间断性,对浅水波方程组离散时,要求数值方法具有稳定、高分辨率、能较好抑制振荡等特性.近年来,用高分辨率数值格式建立一维溃坝流模型已有一些研究.如:Choi 等^[1]基于迎风 TVD,迎风 TVB 和 ENO 格式讨论了一维溃坝问题并指出 TVB 格式精度较高,但 CPU 时间消耗较多;Lin 等^[2]提出了一种二阶混合 TVD 有限体积格式,由于 TVD 格式本身固有的限制,精度至多只能达到二阶,极值点附近降至一阶^[3];鲍远林等^[4]基于 Boltzmann 方程,采用有限体积 KFVS 方法,成功模拟了下游为干河道的一维溃坝流;Mambretti 等^[5]采用 McCormack-Jameson 激波捕捉法成功建立了一维带污染物两相流溃坝模型;文献[6]应用 WENO 格式模拟了闸门瞬间开启后的水流,水位、流速与解析解拟合较好;文献[7]建立了基于 WENO 格式的浅水间断流数值模型,得到了有五阶精度的一维溃坝模拟算法.文献[8]将一种基于 HWENO (Hermit Weighted Essentially Non-Oscillatory) 格式的限制器引入双曲守恒律方程的求解中,HWENO 格式在重构边界点值时,选用 Hermit 插值多项式,其优点是选用较少的模板就能达到较高的精度,同时减少计算量,边界处理也变得简洁.本文将 HWENO 格式应用于一维溃坝流进行数值模拟,所得结果与基于 WENO 格式的数值结果^[7]及精确解^[9]比较表明,本文建立的溃坝流模型,格式稳定,分辨率高,能更好地处理类似溃坝这类浅水间断流问题.

1 浅水波方程组及时空离散

Shallow water wave equations and space-time discretization

1.1 有限体积法积分方程

在笛卡尔直角坐标系下,一维浅水波方程组守恒形式如下:

$$\frac{\partial}{\partial t} \mathbf{U} + \frac{\partial}{\partial x} \mathbf{F} = 0. \quad (1)$$

收稿日期 2010-06-02

资助项目 国家青年基金(40906048)

作者简介

翁磊,男,硕士生,主要研究水动力数值模拟. l_weng@163.com.

¹ 南京信息工程大学 数理学院,南京,210044

其中, \mathbf{U} 是守恒型向量, \mathbf{F} 是通量向量, 表达式为

$$\mathbf{U} = \begin{pmatrix} h \\ uh \end{pmatrix}, \quad \mathbf{F} = \begin{pmatrix} uh \\ u^2h + \frac{gh^2}{2} \end{pmatrix}.$$

对计算域进行等步长网格划分, 记第 i 个单元

$I_i = [x_{i-\frac{1}{2}}, x_{i+\frac{1}{2}}]$, 单元步长 $\Delta x = x_{i+\frac{1}{2}} - x_{i-\frac{1}{2}}$, 单元中点

$x_i = \frac{1}{2}(x_{i+\frac{1}{2}} + x_{i-\frac{1}{2}})$. 对式(1) 关于 x 求导, 得方程:

$$\frac{\partial}{\partial t} \mathbf{V} + \frac{\partial}{\partial x} \mathbf{G} = 0. \quad (2)$$

其中, $\mathbf{V} = \begin{pmatrix} h_x \\ (uh)_x \end{pmatrix}$, $\mathbf{G} = \begin{pmatrix} (uh)_x \\ (u^2h + \frac{gh^2}{2})_x \end{pmatrix}$.

记单元平均值 $\bar{U}_i = \frac{1}{\Delta x} \int_{I_i} \mathbf{U}(x, t) dx$, $\bar{V}_i =$

$\frac{1}{\Delta x} \int_{I_i} \mathbf{V}(x, t) dx$. 在单元 I_i 上, 对式(1)、(2) 关于 x 在第 i 个单元上积分平均, 得

$$\begin{cases} \frac{d\bar{U}_i}{dt} = -\frac{1}{\Delta x} (\mathbf{F}(\mathbf{U}(x_{i+\frac{1}{2}}, t)) - \mathbf{F}(\mathbf{U}(x_{i-\frac{1}{2}}, t))), \\ \frac{d\bar{V}_i}{dt} = -\frac{1}{\Delta x} (\mathbf{G}(\mathbf{U}(x_{i+\frac{1}{2}}, t), \mathbf{V}(x_{i+\frac{1}{2}}, t)) - \mathbf{F}(\mathbf{U}(x_{i-\frac{1}{2}}, t), \mathbf{V}(x_{i-\frac{1}{2}}, t))). \end{cases}$$

对通量 $\mathbf{F}(\mathbf{U})$, $\mathbf{G}(\mathbf{U}, \mathbf{V})$ 取近似:

$$\mathbf{F}(\mathbf{U}(x_{i-\frac{1}{2}}, t)) \approx \hat{\mathbf{F}}(U_{i-\frac{1}{2}}^l, U_{i-\frac{1}{2}}^r);$$

$\mathbf{G}(\mathbf{U}(x_{i-\frac{1}{2}}, t), \mathbf{V}(x_{i-\frac{1}{2}}, t)) \approx \hat{\mathbf{G}}(U_{i-\frac{1}{2}}^l, U_{i-\frac{1}{2}}^r; V_{i-\frac{1}{2}}^l, V_{i-\frac{1}{2}}^r)$.

其中, $U_{i-\frac{1}{2}}^l, U_{i-\frac{1}{2}}^r$ 分别表示 \mathbf{U} 在点 $(x_{i-\frac{1}{2}}, t)$ 的左右函数值; $V_{i-\frac{1}{2}}^l, V_{i-\frac{1}{2}}^r$ 分别表示 \mathbf{V} 在点 $(x_{i-\frac{1}{2}}, t)$ 的左右函数值.

本文采用 Local Lax-Friedrich (LLF) 数值通量^[8]

$$\mathbf{F}(U^r, U^l) = \frac{1}{2} (\mathbf{F}(U^r) + \mathbf{F}(U^l) - \alpha(U^r - U^l)),$$

$$\mathbf{G}(U^r, V^r; U^l, V^l) = \frac{1}{2} (\mathbf{G}(U^r, V^r) + \mathbf{G}(U^l, V^l) - \alpha(V^r - V^l)).$$

其中, α 是 \mathbf{F} 的 Jacobian 矩阵线性化替换矩阵的谱半径.

1.2 HWENO 重构

为了得到五阶精度, WENO 格式需要覆盖 5 个单元, 而采用 HWENO 格式, 只需要 3 个单元, 具体重构过程如下:

1.2.1 重构 $U_{i-\frac{1}{2}}^r$

分别在模板 $\{I_{i-1}, I_i, I_{i+1}\}$, $\{I_{i-1}, I_i\}$, $\{I_i, I_{i+1}\}$ 上构造 Hermite 二次重构多项式 $Q_1(x), Q_2(x), Q_3$

(x). 为了使格式达到五阶, 在 $\{I_{i-1}, I_i, I_{i+1}\}$ 上还需构造一个 Hermite 四次插值多项式 $Q_4(x)$. 重构的多项式分别满足如下条件:

$$\frac{\int_{I_{i-1}} Q_j(x) dx}{\Delta x_i} = \bar{U}_{i-1}, \quad j = 1, 2, 4;$$

$$\frac{\int_{I_{i-1}} Q'_j(x) dx}{\Delta x_i} = \bar{V}_{i-1}, \quad j = 2, 4;$$

$$\frac{\int_{I_{i+1}} Q_j(x) dx}{\Delta x_i} = \bar{U}_{i+1}, \quad j = 1, 3, 4;$$

$$\frac{\int_{I_{i+1}} Q'_j(x) dx}{\Delta x_i} = \bar{V}_{i+1}, \quad j = 3, 4;$$

$$\frac{\int_{I_i} Q_j(x) dx}{\Delta x_i} = \bar{U}_i, \quad j = 1, 2, 3, 4.$$

计算得 $Q_j(x_{i-\frac{1}{2}})$, $j = 1, 2, 3, 4$ 的表达式:

$$Q_1(x_{i-\frac{1}{2}}) = \frac{1}{3}\bar{U}_{i-1} + \frac{5}{6}\bar{U}_i - \frac{1}{6}\bar{U}_{i+1};$$

$$Q_2(x_{i-\frac{1}{2}}) = \frac{5}{6}\bar{U}_{i-1} + \frac{1}{6}\bar{U}_i + \frac{\Delta x_i}{3}\bar{V}_{i-1};$$

$$Q_3(x_{i-\frac{1}{2}}) = \frac{13}{6}\bar{U}_i - \frac{7}{6}\bar{U}_{i+1} + \frac{2\Delta x_i}{3}\bar{V}_{i+1};$$

$$Q_4(x_{i-\frac{1}{2}}) = \frac{67}{120}\bar{U}_{i-1} + \frac{19}{30}\bar{U}_i - \frac{23}{120}\bar{U}_{i+1} + \frac{7\Delta x_i}{40}\bar{V}_{i-1} + \frac{3\Delta x_i}{40}\bar{V}_{i+1}.$$

由 $Q_4(x_{i-\frac{1}{2}}) = \sum_{j=1}^3 \gamma_j Q_j(x_{i-\frac{1}{2}})$ 可得线性权: $\gamma_1 = \frac{29}{80}$,

$\gamma_2 = \frac{21}{40}, \gamma_3 = \frac{9}{80}$. 为减弱振荡, 使用非线性权: $\omega_j =$

$$\frac{\tilde{\omega}_j}{\sum_s \tilde{\omega}_s}, \text{ 其中, } \tilde{\omega}_j = \frac{\gamma_j}{(\varepsilon + \beta_j)}, \beta_j = \sum_k \int_{I_i} \Delta x^{2k-1} \left(\frac{\partial^k}{\partial x^k} Q_j(x) \right)^2 dx,$$

$j = 1, 2, 3$. ε 是为了防止分母为零而引入的微小量, 本文取 $\varepsilon = 10^{-6}$; β_j 称为光滑因子, 取值越小, 表示相应模板越光滑.

重构后 $U_{i-\frac{1}{2}}^r$ 的表达式是 $U_{i-\frac{1}{2}}^r = \sum_{j=1}^3 \omega_j Q_j(x_{i-\frac{1}{2}})$.

1.2.2 重构 $V_{i-\frac{1}{2}}^r$

分别在模板 $\{I_{i-1}, I_i, I_{i+1}\}$, $\{I_{i-1}, I_i\}$, $\{I_i, I_{i+1}\}$ 上构造 Hermite 二次重构多项式 $Q_1(x), Q_2(x), Q_3(x)$. 为使格式达到五阶, 仍需在 $\{I_{i-1}, I_i, I_{i+1}\}$ 上构造一个 Hermite 五次插值多项式 $Q_4(x)$. 重构的多项式分别满足如下条件:

$$\frac{\int_{I_{i-1}} Q_j(x) dx}{\Delta x_i} = \bar{U}_{i-1}, \quad j = 1, 2, 4;$$

$$\frac{\int_{I_{i-1}} Q'_j(x) dx}{\Delta x_i} = \bar{V}_{i-1}, \quad j = 1, 2, 4;$$

$$\frac{\int_{I_{i+1}} Q_j(x) dx}{\Delta x_i} = \bar{U}_{i+1}, \quad j = 1, 3, 4;$$

$$\frac{\int_{I_{i+1}} Q'_j(x) dx}{\Delta x_i} = \bar{V}_{i+1}, \quad j = 1, 3, 4;$$

$$\frac{\int_{I_i} Q_j(x) dx}{\Delta x_i} = \bar{U}_i, \quad j = 1, 2, 3, 4.$$

计算得 $Q'_j(x_{i-\frac{1}{2}})$, $j = 1, 2, 3, 4$ 的表达式:

$$Q'_1(x_{i-\frac{1}{2}}) = -\frac{3}{4\Delta x_i}\bar{U}_{i-1} + \frac{1}{\Delta x_i}\bar{U}_i - \frac{1}{4\Delta x_i}\bar{U}_{i+1} + \frac{1}{2}\bar{V}_i;$$

$$Q'_2(x_{i-\frac{1}{2}}) = -\frac{2}{\Delta x_i}\bar{U}_{i-1} + \frac{2}{\Delta x_i}\bar{U}_i - \frac{1}{2}\bar{V}_{i-1} - \frac{1}{2}\bar{V}_i;$$

$$Q'_3(x_{i-\frac{1}{2}}) = \frac{4}{\Delta x_i}\bar{U}_i - \frac{4}{\Delta x_i}\bar{U}_{i+1} + \frac{7}{2}\bar{V}_i + \frac{3}{2}\bar{V}_{i+1};$$

$$Q'_4(x_{i-\frac{1}{2}}) = -\frac{21}{12\Delta x_i}\bar{U}_{i-1} + \frac{2}{\Delta x_i}\bar{U}_i - \frac{1}{4\Delta x_i}\bar{U}_{i+1} - \frac{5}{12}\bar{V}_{i-1} - \frac{1}{6}\bar{V}_i + \frac{1}{12}\bar{V}_{i+1}.$$

同上, 计算可得线性权: $\gamma'_1 = \frac{1}{9}, \gamma'_2 = \frac{5}{6}, \gamma'_3 = \frac{1}{18}$.

此处仍然使用非线性权, 构造方式与前文类似. 重构

后的最终表达式为 $V_{i-\frac{1}{2}}^r = \sum_{j=1}^3 j \omega'_j Q'_j(x_{i-\frac{1}{2}})$. $U_{i-\frac{1}{2}}^l$,

$V_{i-\frac{1}{2}}^l$ 类似重构可得.

1.3 时间离散

本文采用四步 TVD Runge-Kutta 时间离散格式^[7], 记: $U^{(1)} = U^n + \frac{\Delta t}{2}L(U^n); U^{(2)} = U^n +$

$\frac{\Delta t}{2}L(U^{(1)}); U^{(3)} = U^n + \Delta tL(U^{(2)}); U^{n+1} = \frac{1}{3}(U^n +$

$U^{(1)} + 2U^{(2)} + U^{(3)}) + \frac{\Delta t}{6}L(U^{(3)})$. 其中 $L(U)$ 表示空

间离散化算子.

2 数值实验

Numerical test

用 HWENO 格式模拟溃坝流. 在平底光滑矩形断面的明渠上, 堤坝溃决, 如图 1 所示. 渠长 2 m, 堤坝位于原点, 初始条件是 $h(x) =$

$\begin{cases} 1 \text{ m}, & -1 \leq x \leq 0; \\ 0.1 \text{ m}, & 0 \leq x \leq 1, \end{cases}$ 将计算域 $[-1, 1]$ 分成 200 等分, 结束时间 0.2 s.

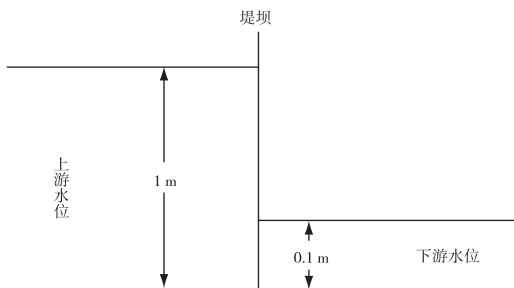


图 1 溃坝示意

Fig. 1 Diagram of dam break

2.1 数值试验方法

本文用 Fortran 语言对模型进行编程实现, 具体计算流程如下:

1) 对计算域等步长剖分后, 记录单元中点、单元步长等信息;

2) 根据初始状态, 给定变量初值, 设定计算终止时间 T , 时间步长 Δt ;

3) 在每个时间步长内, 采用 HWENO 格式由 \bar{U}_i^n 重构单元边界点的左右函数值, 计算边界点的数值通量, 根据四步 Runge-Kutta 时间离散公式计算下一时间点的变量值 \bar{U}_i^{n+1} ;

4) 令 $t = t + \Delta t$, 若 $t < T$, 则将 \bar{U}_i^{n+1} 的值赋给 \bar{U}_i^n , 返回到 3), 继续执行程序, 若 $t > T$, 则结束循环, 输出结果.

2.2 数值结果及分析

大坝溃决后, 下游水位陡涨, 流速骤增, 形成溃坝波, 向下游传播. 0.2 s 时水位和流量分布如图 2 和图 3 所示, 图中还给出了基于 WENO 格式的数值解^[7]及解析解^[9]. 图 2、图 3 表明: 本文结果较基于 WENO 格式的数值解更好地拟合精确解; 本文所用格式较好地抑制了数值耗散, 具有高阶、高分辨率.

3 结论

Conclusion

本文基于 HWENO 有限体积格式及四步 TVD Runge-Kutta 法数值离散一维浅水波方程组, 建立了一维溃坝流数学模型. 结果表明, 该模型能准确捕捉间断, 抑制间断处产生的振荡, 具有高阶、高分辨率, 适合处理类似溃坝流, 具有间断特性的浅水流问题.

参考文献

References

- [1] Choi S, Paik J. Performance test of high resolution schemes for 1D dam break problem[J]. KSCE Journal of Civil Engineering, 2001, 5(3):273-280
- [2] Lin G F, Lai J S, Guo W D. Performance of high resolution TVD schemes for 1D dam break simulations[J]. Journal of the Chinese Institute of Engineers, 2005, 28(5):771-782
- [3] 刘儒勋,舒其望. 计算流体力学的若干新方法[M]. 北京:科学出版社,2003
LIU Ruxun, SHU Qiwang. Several new methods for computational fluid dynamics[M]. Beijing: Science Press, 2003
- [4] 鲍远林,周晓阳. 移动边界的有限体积 KFVS 方法在一维溃坝波计算中的应用[J]. 水利学报, 2005, 36(12):1470-1474
BAO Yuanlin, ZHOU Xiaoyang. Application of kinetic flux-vector splitting method in calculation of 1D dam-break wave[J]. Journal of Hydraulic Engineering, 2005, 36(12):1470-1474
- [5] Mambretti S, Larcen E, Wrachien D D. 1D modelling of dam-break surges with floating debris[J]. Biosystems Engineering, 2008, 100(2):297-308
- [6] 刘玉玲,王玲玲,周孝德,等. 闸门瞬间开启水流的 WENO 格式数值计算[J]. 武汉大学学报:工学版, 2009, 42(3):281-283
LIU Yuling, WANG Lingling, ZHOU Xiaode, et al. Numerical calculation for 1D flows by rapid opening of a sluice gate with WENO scheme[J]. Engineering Journal of Wuhan University, 2009, 42(3):281-283
- [7] 卢长娜. 浅水间断流的高精度 WENO 有限体积数值模型研究[D]. 南京:河海大学数理学院, 2008
LU Changna. Research on high-order WENO finite volume schemes for discontinuous shallow water flow on unstructured meshes[D]. Nanjing: School of Mathematics and Physics, Hohai University, 2008
- [8] Qiu J X, Shu C W. Hermite WENO schemes and their application as limiters for Runge-Kutta discontinuous Galerkin method: One dimensional case[J]. Journal of Computational Physics, 2004, 193(1):115-135
- [9] Stoker J J. Water waves: The mathematical theory with applications[M]. New York: Wiley Inter-Science, 1992

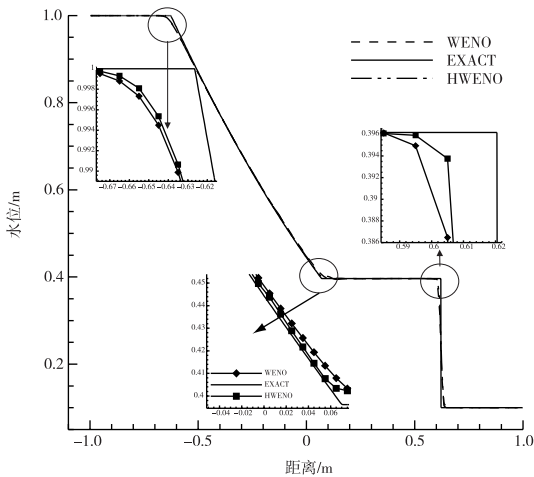


图2 水位对比

Fig. 2 Comparison of surface levels

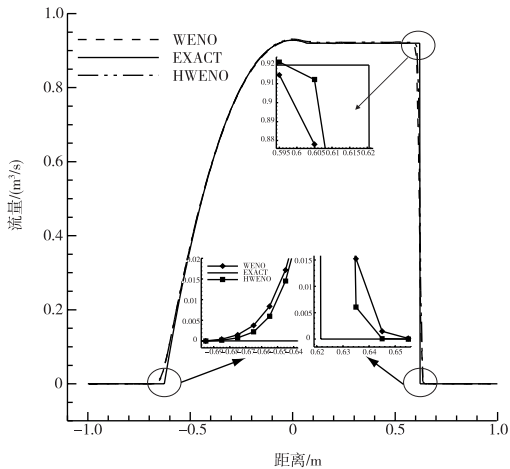


图3 流量对比

Fig. 3 Comparison of discharges

Simulation of one-dimensional dam break based on finite volume HWENO scheme

WENG Lei¹ CHENG Guosheng¹ LU Changna¹

1 School of Mathematics and Physics, Nanjing University of Information Science & Technology, Nanjing 210044

Abstract This paper presents a new model of one-dimensional dam break flows based on shallow water equations, in which HWENO scheme is employed for spacial discretization and four steps TVD Runge-Kutta method is used for time discretization. The numerical results demonstrate that they are more accurate than those based on WENO scheme; simultaneously, the program in this paper can weaken oscillation for one-dimensional dam-break flows more effectively, and possesses higher resolution than that of WENO scheme.

Key words dam-break flows; finite volume methods; HWENO scheme